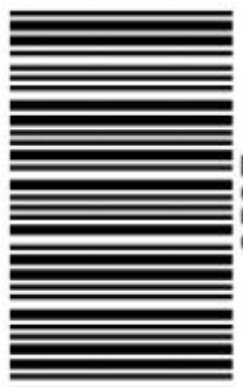


259

F



259F

نام:

نام خانوادگی:

محل امضا:

صبح جمعه  
۹۳/۱۲/۱۵  
دفترچه شماره ۱ از ۲



جمهوری اسلامی ایران  
وزارت علوم، تحقیقات و فناوری  
سازمان سنجش آموزش کشور

اگر دانشگاه اصلاح شود مملکت اصلاح می شود.  
امام خمینی (ره)

## آزمون ورودی دوره‌های دکتری (نیمه متمکز) داخل - سال ۱۳۹۴

### مهندسی عمران نقشه‌برداری - ژئودزی (کد ۲۳۱۷)

مدت پاسخگویی: ۱۵۰ دقیقه

تعداد سؤال: ۴۵

عنوان مواد امتحانی، تعداد و شماره سوالات

ردیف	مواد امتحانی	تعداد سؤال	از شماره	تا شماره
۱	مجموعه دروس تخصصی (فتوگرامتری و ژئودزی، ژئودزی مهندسی مهواره‌های پیشرفته، ژئودینامیک پیشرفته)	۴۵	۱	۴۵

این آزمون نمره منفی دارد.

استفاده از ماشین حساب مجاز نیست.

اسفند ماه - سال ۱۳۹۳

حق جاب، نکter و انتشار سوالات به هر روش (الکترونیکی و ...) پس از برگزاری آزمون، برای تمامی اشخاص حرفی و حقوقی تنها با مجوز این سازمان مجاز می‌باشد و با مختلفین برابر مقررات رفتار می‌شود.

-۱ پارامترهای مجهول در حل مسئله ترقيق و تقاطع فضایی به ترتیب کدام‌اند؟

- (۱) ۶ مجهول توجیه داخلی - ۶ مجهول توجیه نسبی
- (۲) ۶ مجهول توجیه مطلق - مختصات در سیستم عکس
- (۳) ۶ مجهول توجیه نسبی - مختصات در سیستم زمین
- (۴) ۶ مجهول توجیه خارجی - ۶ مجهول توجیه داخلی

-۲ در برآورد دقت ارتفاعی یک پروژه فتوگرامتری کدام رابطه درست است؟

$$\begin{aligned} \sigma_{H(H)}^2 &= \sigma_{H(H)}^2 + \sigma_{(نقاط زمینی)}^2 \quad (نهازی) \\ (تبدیل) & \\ \sigma_{H(H)}^2 &= \sigma_{H(H)}^2 + \sigma_{(کادرگیری)}^2 \quad (نهازی) \\ (تبدیل) & \\ \sigma_{H(H)}^2 &= \sigma_{H(H)}^2 + \sigma_{(کادرگیری)}^2 \quad (نهازی) \\ (تبدیل) & \\ \sigma_{H(H)}^2 &= \sigma_{H(H)}^2 + \sigma_{(کادرگیری)}^2 + \sigma_{(نقاط زمینی)}^2 \quad (نهازی) \end{aligned}$$

-۳ در رابطه تبدیل **Affine** با پارامترهای زیر، کدام رابطه برای محاسبه زاویه دوران از این پارامترها درست است؟

$$\begin{bmatrix} x \\ y \end{bmatrix} = \begin{bmatrix} a_1 & a_2 \\ b_1 & b_2 \end{bmatrix} \begin{bmatrix} x \\ y \end{bmatrix} + \begin{bmatrix} a_0 \\ b_0 \end{bmatrix}$$

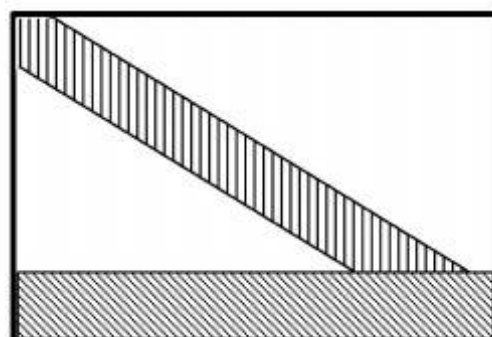
$$K = -\tan^{-1}\left(\frac{b_2}{a_2}\right) \quad (۱)$$

$$K = \tan^{-1}\left(-\frac{b_2}{a_1}\right) \quad (۲)$$

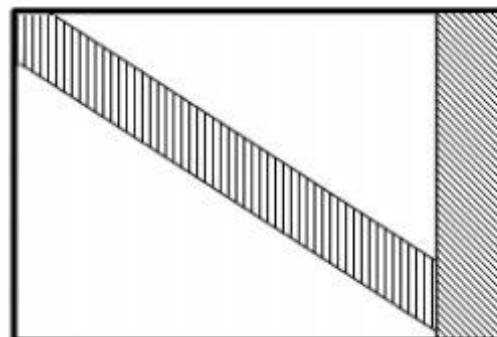
$$K = -\tan^{-1}\left(\frac{b_1}{a_2}\right) \quad (۳)$$

$$K = \tan^{-1}\left(-\frac{b_1}{a_1}\right) \quad (۴)$$

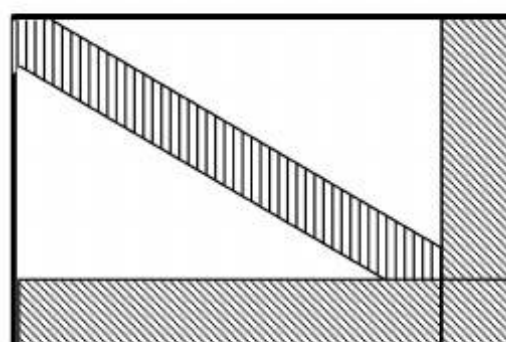
-۴ ساختار معادلات نرمال کاهش یافته (RNE) در مثلثبندی هوایی با در نظر گرفتن پارامترهای اضافی و قید به چه شکل خواهد بود؟



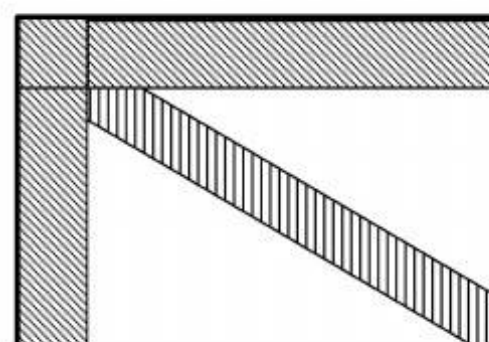
(۲)



(۱)



(۴)



(۳)

-۵ در صورتی که ابعاد یک عکس هوایی  $23^{\circ} \text{ mm} \times 23^{\circ} \text{ mm}$  باشد و مساحت منطقه‌ای که توسط این عکس در روی زمین پوشش داده می‌شود برابر  $21,16 \text{ KM}^2$  باشد. مقیاس کدام است؟

$$\frac{1}{20,000} \quad (1)$$

$$\frac{1}{40,000} \quad (2)$$

$$\frac{1}{87,000} \quad (3)$$

$$\frac{1}{92,000} \quad (4)$$

-۶ ابعاد تصویر یک دوربین رقومی  $10 \text{ سانتیمتر}$  در راستای عمود بر پرواز و  $7 \text{ سانتیمتر}$  در راستای پرواز می‌باشد. باز هوایی (بر حسب متر) و فاصله بین نوارهای تصویربرداری (بر حسب متر) برای عکس‌های با مقیاس  $1:5000$  چقدر باشد تا پوشش طولی  $80^{\circ}$  و پوشش عرضی  $30^{\circ}$  حاصل شود؟

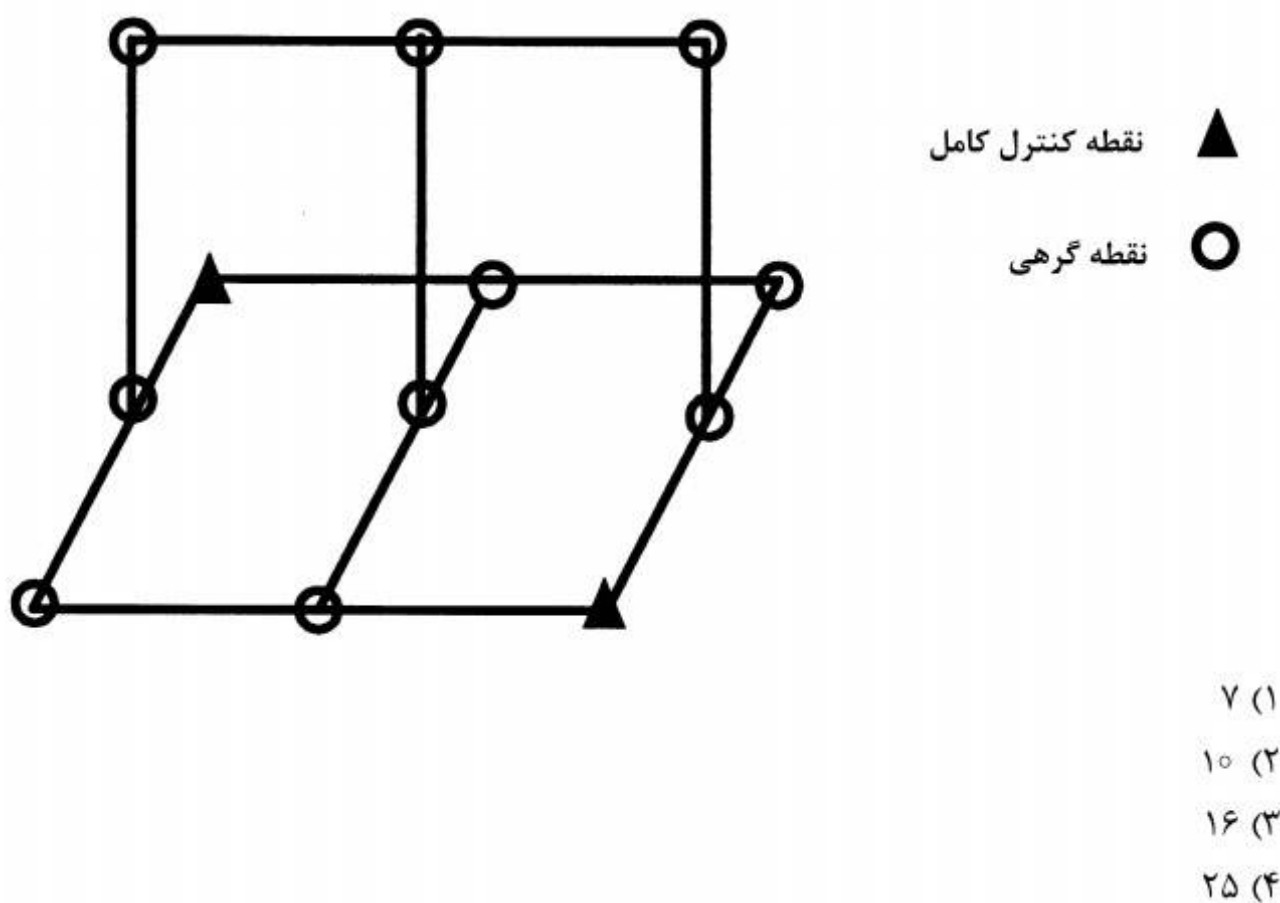
(۱) باز هوایی  $70^{\circ}$  و فاصله نوارها  $350$

(۲) باز هوایی  $350^{\circ}$  و فاصله نوارها  $70$

(۳) باز هوایی  $350^{\circ}$  و فاصله نوارها  $700$

(۴) باز هوایی  $70^{\circ}$  و فاصله نوارها  $350$

- ۷ در مورد جابجایی ناشی از اختلاف ارتفاع کدام یک از عبارات زیر درست است؟
- (۱) جابجایی ناشی از اختلاف ارتفاع نسبت به نقطه همباز (Iso-center) متقاض است.
  - (۲) با کاهش ارتفاع پرواز از سطح منطقه جابجایی ناشی از اختلاف ارتفاع افزایش می‌یابد.
  - (۳) با افزایش بلندی عوارض، جابجایی ناشی از اختلاف ارتفاع به صورت مربعی افزایش می‌یابد.
  - (۴) در گوشه‌های تصویر جابجایی ناشی از اختلاف ارتفاع قابل چشمپوشی است.
- ۸ در دو مدل متواالی شکل زیر، مختصات مراکز تصویر توسط GPS مشاهده شده است. اگر در هر مدل ۶ نقطه گرهی استاندارد اندازه‌گیری شده باشد، درجه آزادی سرشکنی، مدل مستقل چقدر است؟ (نقاط کنترل زمینی و مختصات مراکز تصویر به صورت وزن دار در نظر گرفته شوند)



- ۹ یک عکس کاملاً قائم از ارتفاع ۱۲۰۰ متری از سطح زمین با زاویه کاپای  $K = ۹۰^\circ$  اخذ شده است. اگر دقت قرائت مختصات عکسی نقاط نقاط  $\sigma_x = ۱\text{ mm}$ ,  $\sigma_y = ۲\text{ mm}$  باشد و مختصات مرکز تصویر با دقت بالا معلوم باشد، دقت تعیین مختصات مسطحاتی از مشاهدات این عکس بر حسب سانتی‌متر (cm) کدام است؟ (فاصله کانونی دوربین  $15^\circ$  میلی‌متر می‌باشد).

$$\sigma_x = 8, \sigma_y = 24 \quad (1)$$

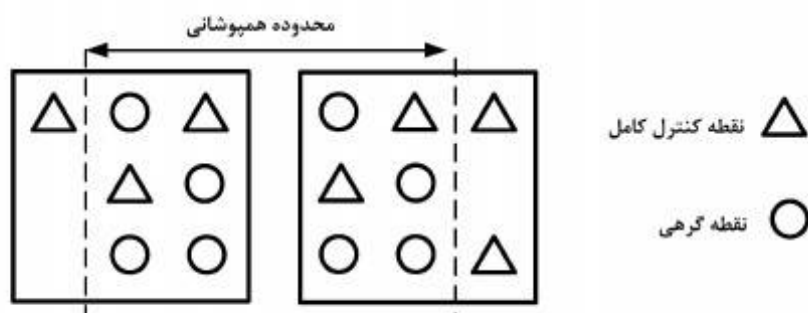
$$\sigma_x = 24, \sigma_y = 8 \quad (2)$$

$$\sigma_x = \sigma_y = 16 \quad (3)$$

$$\sigma_x = \sigma_y = 24 \quad (4)$$

- ۱۰ جهت استخراج اطلاعات سه بعدی از یک زوج تصویر ماهواره‌ای بزرگ مقیاس، مدل ریاضی افاین سه بعدی استفاده شده است. در صورتی که این زوج عکس  $60^\circ$  درصد هم پوشانی داشته باشند و توزیع نقاط کنترل و گرهی مطابق شکل زیر باشد، کدام عبارت درست است؟

$$\begin{array}{l} \text{مدل افاین} \\ \left\{ \begin{array}{l} r = A_0 + A_1 X + A_2 y + A_3 Z \\ c = B_0 + B_1 X + B_2 y + B_3 Z \end{array} \right. \\ \text{سه بعدی} \end{array}$$



(۱) تنها امکان برآورده پارامتری مدل در تصویر سمت راست وجود دارد.

(۲) امکان برآورده پارامترهای مدل با درجه آزادی ۲ مسیر است.

(۳) مدل بدون درجه آزادی قابل حل است.

(۴) امکان حل دستگاه معادلات وجود ندارد.

- ۱۱ رابطه مربوط به مؤلفه در راستای قائم اولیه زاویه انحراف قائم کدام است؟

$R$ : شعاع کره زمین

$N(\lambda, \phi)$ : مختصات ژئودتیک نقطه

ارتفاع ژئوپید

$$-\frac{1}{R} \frac{\partial N}{\partial \phi} \quad (1)$$

$$-\frac{1}{R} \frac{\partial N}{\partial \lambda} \quad (2)$$

$$-\frac{1}{R \cos \phi} \frac{\partial N}{\partial \phi} \quad (3)$$

$$-\frac{1}{R \cos \phi} \frac{\partial N}{\partial \lambda} \quad (4)$$

- ۱۲ رابطه فشردگی جاذبی زمین کدام است؟

$\gamma_P$ : شتاب جاذبه در قطب

$\gamma_E$ : شتاب جاذبه در استوا

$$\frac{\gamma_E - \gamma_P}{\gamma_E} \quad (1)$$

$$\frac{\gamma_E - \gamma_P}{\gamma_P} \quad (2)$$

$$\frac{\gamma_P - \gamma_E}{\gamma_E} \quad (3)$$

$$\frac{\gamma_P - \gamma_E}{\gamma_P} \quad (4)$$

-۱۳ رابطه ارتفاع نرمال نقطه A در روی سطح زمین کدام است؟  
 γ<sub>A</sub>: شتاب ثقل نرمال در روی سطح بیضوی      C<sub>A</sub>: عدد ژئوپتانسیل نقطه A

H<sub>A</sub>: ارتفاع هندسی نقطه A

$$\frac{C_A}{\gamma_A + 1542 H_A} \quad (1)$$

$$\frac{C_A}{\gamma_A - 1542 H_A} \quad (2)$$

$$\frac{C_A}{\gamma_A - 3086 H_A} \quad (3)$$

$$\frac{C_A}{\gamma_A - 424 H_A} \quad (4)$$

-۱۴ رابطه مربوط به فرمول اول برونز کدام است؟

ρ: چگالی زمین

g: شتاب ثقل واقعی زمین

G: ثابت جاذبه جهانی نیوتون

J: انحنای متوسط سطوح هم‌پتانسیل

ω: سرعت دوران زمینی

$$-2gJ + 4\pi Gp - 2\omega^2 \quad (1)$$

$$-2gJ - 4\pi Gp + 2\omega^2 \quad (2)$$

$$2gJ - 4\pi Gp - 2\omega^2 \quad (3)$$

$$2gJ + 4\pi Gp - 2\omega^2 \quad (4)$$

-۱۵ رابطه ارتباط سیستم AP و IT کدام است؟

$$\bar{e}^{AP} = R_{\varphi} (+GAST) \bar{e}^{IT} \quad (1)$$

$$\bar{e}^{AP} = R_{\varphi} (-GAST) \bar{e}^{IT} \quad (2)$$

$$\bar{e}^{AP} = R_{\varphi} (LAST) \bar{e}^{IT} \quad (3)$$

$$\bar{e}^{AP} = R_{\varphi} (-LAST) \bar{e}^{IT} \quad (4)$$

-۱۶ کدام یک از روابط زیر در مورد شعاع انحنای مقطع نصف‌النهاری (M) و مقطع قائم اولیه (N) صحیح است؟

f) فشردگی، e خروج از مرکزیت، a نیم قطر اطول بیضوی دورانی و φ عرض ژئودتیک

$$M \geq N \quad (1)$$

$$N_{Pole} > M_{Pole} \quad (2)$$

$$M_{Pole} < M_{Equator} \quad (3)$$

$$(MN)^{\frac{1}{2}} = \frac{a(1-f)}{1-e^2 \sin^2 \phi} \quad (4)$$

-۱۷ کدام یک از عبارات زیر در مورد اثر اتووش در نقل‌سنگی صحیح است؟

- (۱) این اثر در واقع تصحیحی است که به واسطه حرکت دورانی زمین ایجاد شده و سبب تغییر شتاب ثقل مشاهده شده در نقل‌سنگی در دریاها می‌گردد.
- (۲) این اثر یک تصحیح سیستماتیک بوده که به واسطه ساختار هندسی برخی از گرادیمترها ایجاد می‌گردد.
- (۳) میزان این اثر زمانی که کشتی در امتداد نصف‌النهار حرکت می‌کند به ماکزیمم مقدار خود خواهد رسید.
- (۴) میزان این تصحیح تابعی از طول جغرافیایی نقطه مشاهده است.

-۱۸ کدام یک از جملات زیر صحیح است؟

- (۱) نیروی جزر و مد زمین یک نیروی غیر پایستار می‌باشد.
  - (۲) نیروی جزر و مد سبب جابه‌جایی مرکز جرم زمین می‌گردد.
  - (۳) نیروی جزر و مد سبب تغییر در اندازه طول‌ها و زوایای مشاهده شده در سطح زمین می‌گردد.
  - (۴) نیروی جزر و مد فقط سبب تغییر در سطح آب‌های آزاد شده و خشکی‌ها را دستخوش تغییر نمی‌کند.
- ۱۹ در صورتی که  $\varphi$  و  $\lambda$  به ترتیب عرض و طول ژئودتیک و  $q$  عرض ایزومتریک باشد برقراری کدام‌یک از معادلات زیر شرط لازم برای تعریف سیستم تصویر متشابه است؟

$$\frac{\partial x}{\partial q} + \frac{\partial y}{\partial q} = \frac{\partial x}{\partial \lambda} + \frac{\partial y}{\partial \lambda} \quad (1)$$

$$\frac{\partial x}{\partial q} \cdot \frac{\partial x}{\partial \lambda} + \frac{\partial y}{\partial q} \cdot \frac{\partial y}{\partial \lambda} = 0 \quad (2)$$

$$\frac{\partial x}{\partial \varphi} \cdot \frac{\partial y}{\partial \lambda} + \frac{\partial x}{\partial \lambda} \cdot \frac{\partial y}{\partial \varphi} = 0 \quad (3)$$

$$\frac{\partial x}{\partial \varphi} \cdot \frac{\partial y}{\partial \lambda} + \frac{\partial x}{\partial \lambda} \cdot \frac{\partial y}{\partial \varphi} = \frac{\partial x}{\partial q} \cdot \frac{\partial x}{\partial \lambda} + \frac{\partial y}{\partial q} \cdot \frac{\partial y}{\partial \lambda} \quad (4)$$

-۲۰ کدام یک از جملات زیر تعریف درستی از شاخص تیسوت است؟

- (۱) همان بیضی اعوجاج است که نشان دهنده خطای نگاشت نقاط از سطح زمین به صفحه نقشه است.
- (۲) بیانگر نسبت ابعاد بیضی خطای تصویر شده در صفحه نقشه به ابعاد بیضی خطای هر نقطه روی سطح زمین است.
- (۳) همان بیضی اعوجاج است که نشان دهنده تصویر یک دایره با ابعاد بینهایت کوچک از سطح زمین در صفحه نقشه است.
- (۴) بیانگر نسبت مساحت بیضی تصویر شده در صفحه نقشه به مساحت یک دایره با ابعاد بینهایت کوچک از سطح زمین است.

-۲۱ سرعت تغییر شکل  $\underline{v} = x_1^2 \underline{e}_1 + x_2^2 \underline{e}_2 + x_3^2 \underline{e}_3$  است. شتاب تغییر شکل آن در لحظه  $t=1$  و در نقطه  $P(1,2,2)$  کدام است؟

$$\underline{a}_p = \underline{e}_1 + 2\underline{e}_2 + 3\underline{e}_3 \quad (1)$$

$$\underline{a}_p = \underline{e}_1 + 3\underline{e}_2 + 2\underline{e}_3 \quad (2)$$

$$\underline{a}_p = 3\underline{e}_1 + 9\underline{e}_2 + 6\underline{e}_3 \quad (3)$$

$$\underline{a}_p = 9\underline{e}_2 + 6\underline{e}_3 \quad (4)$$

- ۲۲ جمع جبری مقادیر ویژه تنسور مرتبه دوم کرنش (استرین) بیان کننده کدام فرض تغییر شکل از جسم است؟
- (۱) انحناء      (۲) انبساط      (۳) انقباض      (۴) انبساط یا انقباض
- ۲۳ در نظر گرفتن اعداد لاو (love numbers) برای اندازه‌گیری صلب بودن زمین ناشی از کدام فرض است؟
- (۱) ترکیبی از خطی بودن و نمایی بودن رابطه بین تنش و کرنش  
 (۲) خطی بودن رابطه بین تنش و کرنش برای زمین  
 (۳) نمایی بودن رابطه بین تنش و کرنش برای زمین  
 (۴) هیچ کدام
- ۲۴ رفتار رئولوژیک پوسته زمین در بخش قاره‌ای به کدام یک از مدل‌های زیر نزدیک است؟
- (۱) الاستیک، بجزء مناطقی که شامل گسل‌ها می‌باشند.  
 (۲) ویسکو - الاستیک  
 (۳) الاستیک  
 (۴) پلاستیک
- ۲۵ به نظر شما دانستن اطلاعات صحیح و دقیق از اثر جزر و مد روی پوسته زمین (ناشی از کرات دیگر نظیر ماه و خورشید) در بررسی کدام یک از موارد زیر بیشترین تأثیر را دارد؟
- (۱) پیش‌بینی مکانی زلزله  
 (۲) محاسبات سرعت وضعی زمین به دور خود  
 (۳) کالیبره کردن داده‌های GPS و VLBI  
 (۴) گزینه ۲ و ۳
- ۲۶ ماکریمم مقدار تأثیر حرکت قطبی به روی یک نقطه از سطح زمین به چه عددی می‌تواند نزدیک باشد؟
- (۱) ۷ میلی‌متر در جهت افقی، ۷ میلی‌متر در جهت شعاعی  
 (۲) ۷ میلی‌متر در جهت افقی، ۲۵ میلی‌متر در جهت شعاعی  
 (۳) ۲۵ میلی‌متر در جهت افقی، ۷ میلی‌متر در جهت شعاعی  
 (۴) ۲۵ میلی‌متر در جهت افقی، ۲۵ میلی‌متر در جهت شعاعی
- ۲۷ ریشه بلوهای قاره‌ای براساس مدل ایری - هیسکانن کدام است؟
- $H_i$ : ارتفاع متوسط بلوك؛  $\sigma_m$ : چگالی نرمال پوسته؛  $\sigma_o$ : چگالی ماگما
- $$\frac{\sigma_o}{\sigma_m + \sigma_o} H_i \quad (1)$$
- $$\frac{\sigma_m}{\sigma_m + \sigma_o} H_i \quad (2)$$
- $$\frac{\sigma_o}{\sigma_m - \sigma_o} H_i \quad (3)$$
- $$\frac{\sigma_m}{\sigma_m - \sigma_o} H_i \quad (4)$$

- ۲۸ رابطه بالا آمدگی سطوح هم پتانسیل ناشی از حرکت قطب کدام است؟

$R$ : شعاع زمین  $\phi$ : عرض ژئودتیک  $\omega$ : سرعت دوران زمینی

$\delta\phi$ : تغییر عرض ژئودتیک ناشی از حرکت قطب  $g$ : شتاب ثقل واقعی زمین

$$-\frac{\omega^2 R}{2g} \cos 2\phi \delta\phi \quad (1)$$

$$-\frac{\omega^2 R^2}{2g} \cos 2\phi \delta\phi \quad (2)$$

$$-\frac{\omega^2 R^2}{2g} \sin 2\phi \delta\phi \quad (3)$$

$$-\frac{\omega^2 R}{2g} \sin 2\phi \delta\phi \quad (4)$$

- ۲۹ پشته میان اقیانوسی مثالی از کدام مدل زیر است؟

(۱) ایزوفور - هیسکانن (۲) ایزوفور - هایفورد

(۳) ایزوفور - مانیز (۴) عدم تعادل ایزوفور

- ۳۰ رابطه تغییرات جزر و مدی شتاب ثقل مطلق کدام است؟

$K$ : عدد دوم لاو  $w_2$ : پتانسیل جزر و مد  $h$ : عدد اول لاو

$$-(1 - \frac{3}{2}k) \frac{\partial w_2}{\partial r} \quad (1)$$

$$-(1 + \frac{3}{2}k) \frac{\partial w_2}{\partial r} \quad (2)$$

$$-(1 + h - \frac{3}{2}k) \frac{\partial w_2}{\partial r} \quad (3)$$

$$-(1 - h + \frac{3}{2}k) \frac{\partial w_2}{\partial r} \quad (4)$$

- ۳۱ معادله تنش - کرنش در جسم ماسکول به کدام صورت زیر است؟

$T$ : نیروی اعمال شده به دو انتهای جسم ماسکول  $Z_\mu$ : ثابت فنر

$E_D$ : میزان کشیدگی فنر  $E_S$ : میزان کشیدگی میراگر  $Z_\eta$ : ویسکوزیته میراگر

$$\frac{\dot{T}}{Z_\mu} + \frac{T}{Z_\eta} = \dot{E}_S + \dot{E}_D \quad (1)$$

$$\frac{\dot{T}}{Z_\mu} + \frac{T}{Z_\eta} = E_S + E_D \quad (2)$$

$$\frac{T}{Z_\mu} + \frac{\dot{T}}{Z_\eta} = \dot{E}_S + \dot{E}_D \quad (3)$$

$$\frac{T}{Z_\mu} + \frac{\dot{T}}{Z_\eta} = E_S + E_D \quad (4)$$

- ۳۲- عکس العمل زمین در برابر نیروی زلزله شبیه کدام یک از اجسام زیر است؟
- (۱) صلب
  - (۲) لاستیک
  - (۳) ویسکوالاستیک
  - (۴) بستگی به شدت زلزله متفاوت است.

- ۳۳- اگر  $r_2$  فاصله ساعی یک ماهواره از بیضی میسر آن بوده و نسبت  $\frac{r_2}{r_1} = 2$  باشد ( $r_2$  و  $r_1$  به ترتیب فواصل

ساعی ماهواره‌ها در لحظه حضیض هستند) آنگاه نسبت  $\frac{a_2}{a_1}$  برای مدار حرکت این دو ماهواره در حرکت کپلری آن‌ها کدام است؟

$$\frac{1+e_1}{1+e_2} \quad (1)$$

$$\frac{1+e_2}{1+e_1} \quad (2)$$

$$\frac{1-e_1}{1-e_2} \quad (3)$$

$$\frac{1-e_2}{1-e_1} \quad (4)$$

- ۳۴- در یک مدار تقریباً دایره‌ای، چنانچه آنومالی خارج از مرکزیت ماهواره در لحظه  $t$  برابر  $\frac{\pi}{4}$  باشد؛ آنومالی حقیقی آن کدام است؟

$$v = 0 \quad (1)$$

$$v = \frac{\pi}{2} \quad (2)$$

$$v = \frac{\pi}{3} \quad (3)$$

$$v = \frac{\pi}{4} \quad (4)$$

- ۳۵- دستگاه معادلات مشاهدات  $\underline{y} + \underline{l} = [\underline{A} \ \underline{B}] \begin{bmatrix} \underline{x}_1 \\ \underline{x}_2 \end{bmatrix}$  را در نظر بگیرید. اگر  $\underline{x}$  زیر بردار شامل پارامترهای

مزاحم (nuisance parameters) باشد، دستگاه معادلات مشاهدات هم ارز حذفی مورد نیاز برای محاسبه زیر بردار  $\underline{x}$  از بردار مجهولات کدام است؟

$$\underline{y}' + \underline{l} = [\underline{A}^T \underline{P} \underline{A} - \underline{A} (\underline{A}^T \underline{P} \underline{A})^{-1} \underline{A}^T \underline{P}] \underline{B} \underline{x} \quad (1)$$

$$\underline{y}' + \underline{l} = [\underline{l} - \underline{A} (\underline{A}^T \underline{P} \underline{A})^{-1} \underline{A}^T \underline{P}] \underline{B} \underline{x} \quad (2)$$

$$\underline{y}' + \underline{l} = [\underline{B} - \underline{B} \underline{A} (\underline{A}^T \underline{P} \underline{A})^{-1} \underline{A}^T \underline{P}] \underline{B} \underline{x} \quad (3)$$

$$\underline{y}' + \underline{l} = [\underline{B} - \underline{B} \underline{A} (\underline{A}^T \underline{P} \underline{A})^{-1} \underline{A}^T \underline{P}] \underline{x} \quad (4)$$

- ۳۶- اگر آنومالی متوسط یک ماهواره در لحظه  $\bar{M} = \frac{\pi}{6}$  و دوره تناوب چرخش آن  $T = 12^h$  باشد، زمان عبور ماهواره از نقطه حضیض (بر حسب ساعت  $h$ ) کدام است؟

$$t_p = 0 \quad (1)$$

$$t_p = \frac{1}{2} \quad (2)$$

$$t_p = \frac{1}{3} \quad (3)$$

$$t_p = \frac{2}{3} \quad (4)$$

- ۳۷- در یک سیستم RTK شبکه‌ای در منطقه‌ای به وسعت  $30^\circ$  در  $35$  کیلومتر .....

(۱) با حداقل  $2$  گیرنده مرجع خطاهای اتمسفری، ساعت ماهواره و مدار ماهواره برآورد شده و دورنیابی انجام شده و به مشاهدات غیر تفاضلی اعمال شود تا مشاهده مجازی ساخته شود.

(۲) با حداقل  $3$  گیرنده مرجع خطاهای اتمسفری، ساعت ماهواره و مدار ماهواره برآورد شده و دورنیابی انجام شده و به مشاهدات غیر تفاضلی اعمال شود تا مشاهده مجازی ساخته شود.

(۳) کافی است با حداقل  $3$  گیرنده مرجع خطاهای ترپسfer و یونسfer تفاضلی مرتبه دوم تجزیه شده و برای نقطه مورد نظر درونیابی انجام شود.

(۴) کافی است با حداقل  $2$  گیرنده مرجع خطاهای ترپسfer و یونسfer تفاضلی مرتبه دوم تجزیه شده و برای نقطه مورد نظر درونیابی انجام شود.

- ۳۸- در روش استاتیک سریع در یک منطقه شهری برای تعیین یک بیس لاین یک کیلومتری  $5$  دقیقه اندازه‌گیری کرده‌ایم و ابهام فازها حل شده‌اند، کدام یک از حالات زیر می‌تواند اتفاق بیفتد؟

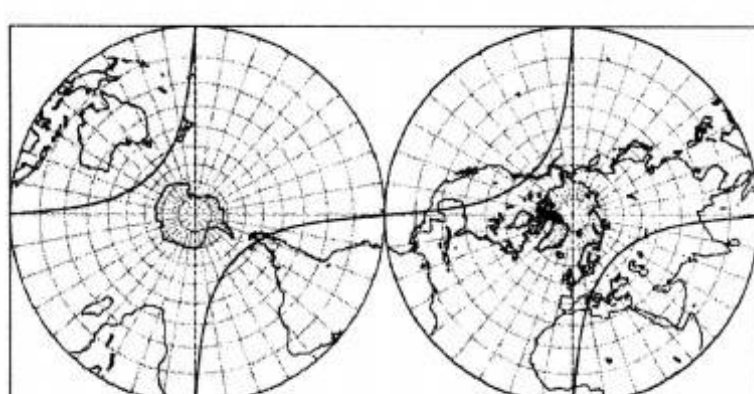
(۱) مشاهدات فاز می‌توانند دچار خطای چندمسیری در حد چند دسیمتر باشند.

(۲) مختصات به دلیل خطای چندمسیری در حد چند میلیمتر دارای خطای شده‌اند.

(۳) مختصات نقطه تحت تأثیر چند مسیری حداکثر می‌تواند تا  $5$  سانتی‌متر دارای خطای شده باشد.

(۴) مشاهدات  $L_1$  و  $L_2$  می‌توانند به ترتیب حداکثر تا  $19$  سانتی‌متر و  $24/4$  سانتی‌متر دارای خطای چند مسیری شوند.

- ۳۹- گذر زمینی ماهواره‌ای در مدت زمان  $24$  ساعت و در سیستم تصویر استرئوگرافیک به صورت شکل زیر داده شده است. این گذر مربوط به کدام یک از ماهواره‌های زیر است؟



BeiDou (۱)

Galileo (۲)

GLONASS (۳)

GPS (۴)

- ۴۰ کدام یک از روابط زیر در تبدیل زاویه آنومالی حقیقی، خروج از مرکز و متوسط صحیح است؟

$$E = \gamma \tan^{-1} \left( \sqrt{\frac{1+e}{1-e}} \tan \frac{\theta}{\gamma} \right) \quad (1)$$

$$M = \gamma \tan^{-1} \left( \sqrt{\frac{1+e}{1-e}} \tan \frac{E}{\gamma} \right) \quad (2)$$

$$\theta = \gamma \tan^{-1} \left( \sqrt{\frac{1+e}{1-e}} \tan \frac{E}{\gamma} \right) \quad (3)$$

$$\theta = \gamma \tan^{-1} \left( \sqrt{\frac{1+e}{1-e}} \tan \frac{M}{\gamma} \right) \quad (4)$$

- ۴۱ کدام دسته از پارامترهای مداری کپلری تحت تأثیر میدان جاذبه زمین دارای اغتشاشات دائمی، تناوبی بلند مدت و کوتاه مدت است؟

{a e M} (۱)

{a ω M} (۲)

{I ω M} (۳)

{Ω ω M} (۴)

- ۴۲ هارمونیک‌های ..... باعث تغییرات ..... المان‌های کپلری می‌شود.

(۱) زونال فرد - دائمی

(۲) زونال زوج - دائمی

(۳) زونال فرد - تناوبی کوتاه مدت

(۴) زونال زوج - تناوبی کوتاه مدت

- ۴۳ دوره تناوبی آنومالیستیک مداری (Orbital Anomalistic Period) برابر مدت زمانی است که:

(۱) نقطه Perigee ماهواره در حرکت اغتشاشی یک دور کامل طی کند.

(۲) نقطه گرهی صعودی ماهواره در حرکت اغتشاشی یک دور کامل طی کند.

(۳) ماهواره در حرکت اغتشاشی یک دور کامل از نقطه گرهی تا نقطه گرهی صعودی را طی کند.

(۴) ماهواره در حرکت اغتشاشی یک دور کامل از نقطه گرهی تا نقطه گرهی صعودی را طی کند.

- ۴۴ در صورتیکه المان‌های کپلری را به دو مجموعه  $B = \{\Omega \omega M\}$  و  $A = \{a e I\}$  تقسیم‌بندی

شوند، کدام یک از روابط زیر در معادلات سیاره‌ای لاغرانژ به ازای  $\alpha \in A$  و  $\beta \in B$  برقرار است؟

(R: پتانسیل نیروهای اغتشاشی)

$$\frac{d\alpha}{dt} = f \left( \frac{\partial R}{\partial \beta} \right) \quad (1)$$

$$\frac{\partial \alpha}{dt} = f \left( \frac{dR}{d\beta} \right) \quad (2)$$

$$\frac{d\beta}{dt} = f \left( \frac{dR}{d\alpha} \right) \quad (3)$$

$$\frac{dR}{d\alpha} = f \left( \frac{dR}{d\beta} \right) \quad (4)$$

- ۴۵ بیضی بوسان مداری (Osculating Orbital Ellipse) بیضی مسیری است که ماهواره در مسیر حرکت خود به دور زمین در صورت ..... طی خواهد کرد.

(۱) حذف آنی نیروهای اغتشاشی

(۲) متوسط‌گیری از اثر نیروهای اغتشاشی

(۳) حذف آنی نیروهای اغتشاشی پاییستار

(۴) حذف آنی نیروهای اغتشاشی غیر پاییستار